

تأثير الضغط الاستاتي على فقدان الانتقال خلال ليف بصري ذو معامل انكسار ثابت متعدد الأنماط

خليل إبراهيم محمد مصطفى مازن رجب خليل عبد الغفور إبراهيم عبد الله
قسم الفيزياء - كلية التربية الكلية التقنية
جامعة الموصل جامعة الموصل

تاريخ الاستلام تاريخ القبول
2006/1/2 2003/11/10

ABSTRACT

This work presents the study of the effect of the static pressure on the propagation of laser beam in the fibers. Three types of fiber have been used in this studies; multimode & step index fiber, Plastic Clad Plastic (PCP) with and with-out jacket and Glass core fiber (bare core). Normal pressure of rang (0 ~ 1300) bar were applied on a section (20 cm) length of fiber.

The variation of power attenuation as a function of time during the applied pressure were also investigated .The sensitivity of each fiber was determined when used as a fiber optical pressure sensor.

The results show PCP with jacket gives poor response to the pressure up to 500 bar, while glass core fiber fail as a sensor when the pressure is 1300 bar. PCP with-out jacket show two times sensitivity more when compared with other fiber under the same pressure used in this study.

Abstract

يبين هذا العمل دراسة تأثير الضغط الثابت على انتشار حزمة الليزر في الألياف البصرية. في هذه الدراسة تم استخدام ثلاثة أنواع من الألياف البصرية، جميعها متعددة الأنماط multi mode ثابتة معامل الانكسار step index؛ هذه الأنواع هي القلب والقشرة مصنوعتان من البلاستيك (PCP) Plastic Clad Plastic مع غلاف واقي مره وبدون غلاف واقي مره أخرى، وليف زجاجي يتكون من لب (قلب) فقط. وقد تم تسلیط ضغط عمودي ضمن مدى (0 ~ 1300) bar تقريباً على قطع من هذه الألياف وبطول (20 cm) تقريباً.

الملخص

مقدار التوهين في القدرة الضوئية كدالة للزمن خلال فترة تسلیط الضغط قد تمت دراستها، وقد تم تحديد حساسية كل نوع من الألياف عندما يستخدم كمجس للضغط.

بيّنت النتائج أن (PCP) مع الغلاف الواقي يعطي استجابة قليلة لتغيرات الضغط التي أقل من bar 500 في حين إن الليف الزجاجي المكون من لب فقط فشل في استخدامه كمجس للضغط ضمن مدى bar (1300 ~ 0)، وتبين من خلال هذه الدراسة أن النوع (PCP) بدون الغلاف الواقي كانت حساسيته تساوي الضغط تقريباً مقارنة مع الليف الآخر الذي تم استخدامه كمجس تحت نفس الضغط المستخدم في هذه الدراسة.

Introduction

المقدمة

أصبحت تكنولوجيا مجسات الألياف البصرية (FOS) في السنوات القليلة الماضية من أهم التقنيات المستخدمة في العديد من التطبيقات، وذلك لكونها خفيفة الوزن وصغيرة الحجم فضلاً عن قابليتها لنقل الإشارة بأقل توهين يمكن، خاصةً وأن مجسات الألياف البصرية تمتاز أيضاً باستجابتها لأي تشوّه يحصل في جسم الليف والذي من شأنه أن يعمل على تغيير في القدرة الضوئية المنتقلة خلال الليف {1}. فقد تم التحسّن بالعديد من المتغيرات الفيزيائية والكيميائية وذلك بالاعتماد أساساً على كون الجزء الحساس Sensing Element في منظومة المجس هو الليف البصري.

استخدمت مجسات الألياف البصرية FOS في مجال الطب لحساب سرعة جريان الدم {2}. وفي بعض التطبيقات الكيميائية في حساب تركيز المواد الكيميائية {3}. فضلاً عن استخدامها في قياس درجات الحرارة {4} والتيار الكهربائي وكذلك الضغط {5-7}.

في كل من التطبيقات سالفة الذكر هناك مبدأ عمل لمجس الليف البصري من أجل التحسّن للمتغير المطلوب قياسه، فهناك المجسات التي تعتمد في عملها على تضمين التطور كما في تقنية مقياس التداخل لـ (ماخ - زيندر) في الجايروسكوب أو تضمين الاستقطاب كما في تأثير فرداي في قياس التيار الكهربائي، وهناك مجسات أخرى تعمل على تضمين التردد (إزاحة دوبлер الترددي) لغرض قياس سرعة الأجسام {2}. أو قياس معامل الانكسار بالاعتماد على مبدأ امتصاص الموجة سريعة الزوال Evanescence Wave {3}.

تقسم مجسات الألياف البصرية (FOS) إلى قسمين إذا اخذ بنظر الاعتبار نوع المتغير المراد قياسه (ضغط ، درجة حرارة ، سرعة). فهناك المجسات التي يعتبر الليف البصري فيها الوسط الناقل للإشارة الضوئية من المنطقة المراد قياس المتغير فيها إلى الموجس، أما النوع الثاني فإن الليف البصري هو نفسه الجزء الذي يتغيّر بالمتغير المراد قياسه {8}. كما في مجسات الضغط والتي تهم دراستنا هذه.

أشارت الأدبيات الخاصة بهذا الموضوع إلى وجود دراسات حول استخدام الألياف البصرية في قياس الضغوط حيث تم قياس الضغط داخل أجهزة التعميم الحرارية، والتي يتراوح الضغط فيها حوالي 0.5 bar {9}. كذلك قام Clowes, et al. بقياس الخسائر في الليف البصري داخل غرفة الضغط تحت ضغط تقريباً 275.8 bar {10}.

الدراسات التي قام بها (Walinski TR. et al) لقياس ضغط السوائل الشفافة باستخدام مجس الألياف البصرية حيث توصل فيها إلى قياس ضغوط عالية تصل إلى أكثر من 1000 bar {5}. هذا وقد استخدمت الألياف البصرية كمجسات لقياس الضغوط المتولدة في صناديق التروس (Gear Box) نتيجة حركة المائع (الزيوت) داخلها والتي تصل إلى 6.9 bar {11}.

هناك تقنيات عديدة لاستخدام الألياف البصرية كمجسات لقياس الضغط، منها تقنية تعتمد على انحراف أو اهتزاز غشاء رقيق وحساس لغيرات الضغط بحيث يربط مع محول طاقة الضغط (Pressure Transducers) ومن خلال تحويل الضغط المسلط على الغشاء إلى نسبة تنتقل داخل الليف البصري يمكن معرفة مقدار الضغط، {12}.

سنركز اهتمامنا من خلال هذه الدراسة إلى إمكانية تصميم منظومة لقياس الضغط الأستاتي وباستخدام ضوء الليزر والألياف البصرية، حيث سيتم الآتي:

- أولاً: حساب الفتحة العددية للألياف البصرية المستخدمة وبطريقة مبسطة.
- ثانياً: بناء مجس الليف البصري لقياس الضغوط وبmediات مختلفة.
- ثالثاً: دراسة تأثير نوع الليف / الغلاف على أداء المنسق.
- رابعاً: دراسة مقدار زيادة التوهين مع الزمن عند ضغط ثابتًا لأنواع الألياف المستخدمة في هذه الدراسة.

Experimental Part

الجزء العملي

ت تكون المنظومة البصرية لقياس الضغط الأستاتي من العناصر الرئيسية التالية :-

Light Source

1- المصدر الضوئي

ان الضوء المستخدم هو ضوء الليزر، والجهاز المستخدم هو ليزر الهليوم - نيون (He-Ne) مجهز من شركة Leybold Heraeus ذو قدرة ضوئية مقدارها 1 mW ويعطي حزمة مستمرة (CW) أحادية الطول الموجي عند المنطقة الحمراء من الطيف الكهرومغناطيسي وبطول موجي $\lambda = 632.8 \text{ nm}$ ويعمل هذا الليزر بالنطاق الأساسي TEM₀₀ ذات الشكل الكاوسي وقد تم حساب استقرارية هذا الجهاز عملياً وتبين بأنه لا يتجاوز 0.09dB/15minute

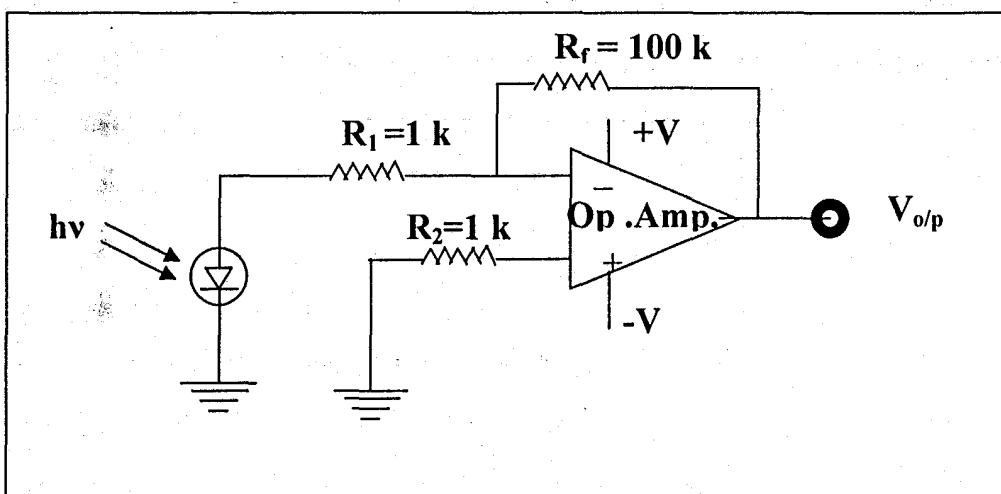
2- الكاشف الضوئي

الكاشف الضوئي المستخدم في هذه الدراسة هو الكاشف السليكوني PIN وهو من نوع (RS - UK BPX 65) ويتمتع هذا النوع من الكواشف بحساسية مقبولة للتغيرات الحاصلة في الشدة الضوئية لشعاع الليزر ذي الطول الموجي . 632.8nm

3- دائرة مكبر

دائرة المكبر المستخدمة هي الدائرة المبينة في الشكل (1)، والمكونة من دائرة متكاملة رقم 324، في دائرة تضم عدد من المقاومات.

الهدف من استخدام دائرة المكبر هي لزيادة حساسية دائرة الكشف للتغيرات البسيطة في الشدة الضوئية المارة خلال الليف عند الضغوط الاستاتيكية المنخفضة.



الشكل (1): يوضح دائرة المكبر المستخدمة

4- الليف البصري

تم استخدام نوعين من الألياف البصرية متعددة الأنماط ثابتة معامل الانكسار Glass multi mode & step index fiber، النوع الأول هو الليف المحلي الزجاجي (bare core) والذي يتكون من قلب فقط بدون غلاف.

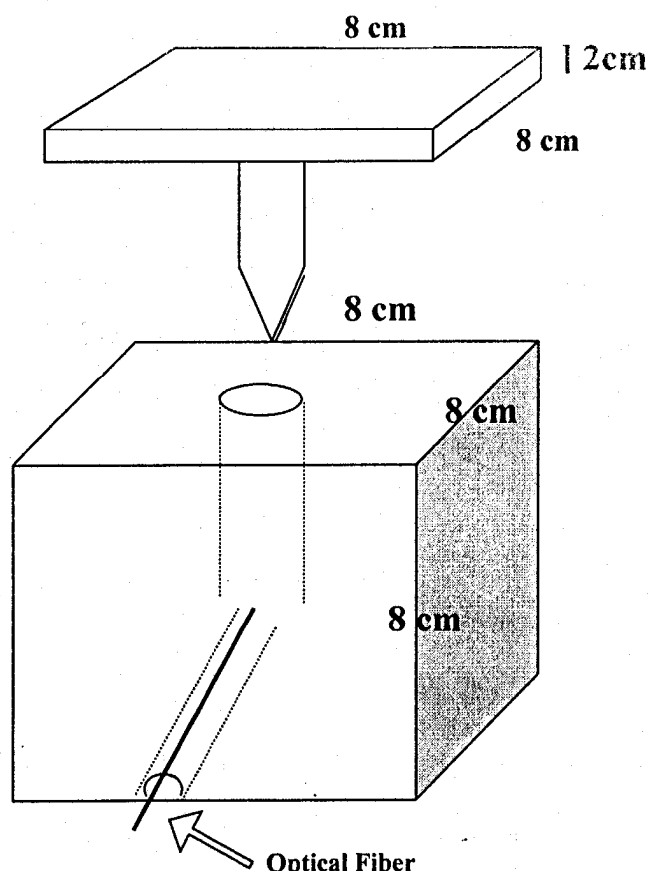
والنوع الثاني هو الليف PCP حيث أن مادتي القلب والغلاف مصنوعتان من البوليمر وتم استخدام هذا الليف في هاتين، الحالة الأولى بدون غلاف واقي Jacket والحالة الثانية مع الغلاف الواقي، ويتميز هذا النوع من الألياف بمرونة عالية أثناء إجراءات الدراسة عليه.

Mechanical System

5 – المنظومة الميكانيكية

تم استخدام منظومة ميكانيكية تتكون من مكعب مصنوع من الخشب طول ضلعه 8cm ويحتوي هذا المكعب في قاعدته السفلية على أخدود يمر خلاله الليف البصري تحت الدراسة بحيث أن هذا الأخدود يغطي الليف بالكامل، وكذلك يوجد في هذا المكعب ثقب مركزي يمتد من الوجه العلوي للمكعب إلى الوجه السفلي.

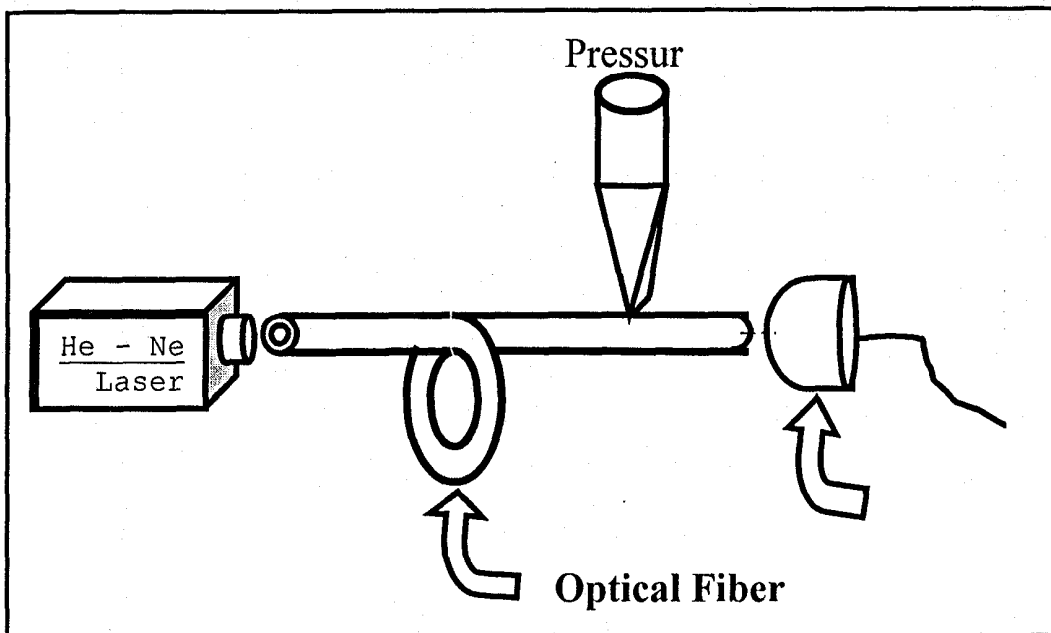
كذلك تشمل المنظومة الميكانيكية على جزء متحرك وهو على شكل متوازي السطوح بإعاده (8cm,8cm,2cm) مصنوع من الخشب أيضاً وقد تم تثبيت قضيب من الخشب وبطول 10cm في مركز متوازي السطوح ثم قطعت نهاية القضيب الخشبي لكي تكون حادة وبسمك معلوم، تم طلاء هذا الرأس بمادة صمغية (Epoxy) سريعة الجفاف وذلك لغرض جعل الرأس يتحمل الضغوط العالية المستخدمة في الدراسة، وكما هو موضح في الشكل (2) بعد إجراء المراحل الأولى من الدراسة ويزاده الضغط المسلط لوحظ حدوث تشوه في الحافة الحادة للقضيب الخشبي المستخدم الأمر الذي أدى إلى تغير المساحة المعرضة للضغط الاستاتي وبالتالي تغير قيمة الضغوط المستخدمة، لذلك تم استبدال القضيب الخشبي بأخر مصنوع من الحديد وذلك لغرض تحمل الضغوط العالية المستخدمة في الدراسة.



الشكل (2): يمثل المنظومة المستخدمة في الدراسة

تأثير الضغط الاستاتي على فقدان الانتقال خلال ليف بصري ذو معامل انكسار ثابت

وقد تم تسلیط الضغط الاستاتي على ثلاثة أنواع مختلفة من الألياف البصرية عن طريق وضع كتل معيينة بحيث تولد ضغطاً استاتيكياً يمكن حسابه، وكما موضح في الشكل (3) .



الشكل (3): يبين كيفية تسلیط الضغط الخارجي على الليف البصري

تهيئة نهاية الليف البصري

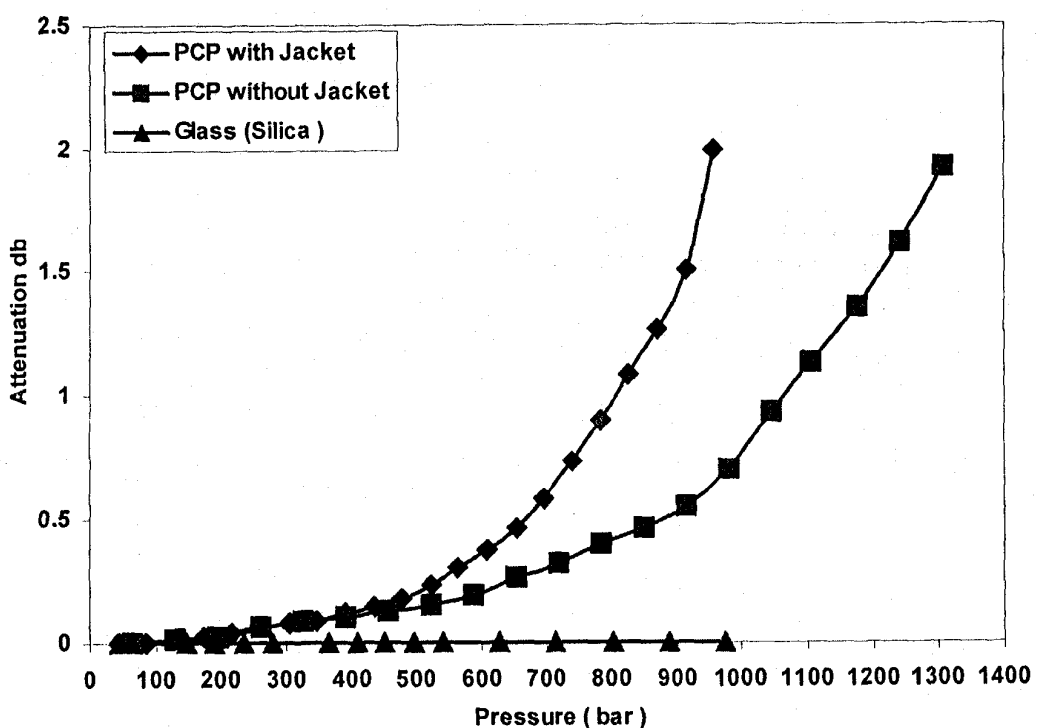
إن عملية تحضير نهاية الليف البصري هي من أهم العمليات سواء في دراسة خصائص الليف البصري أو عند استخدامه كمجس، إذ يؤثر شكل نهاية الليف بشكل مباشر على النتائج التي يمكن الحصول عليها في إجراء عمليات التقارن سواء كان التقارن هو من نوع مصدر - ليف (Source - Fiber Coupling) أو تقارن نوع ليف - كاشف (Fiber - Fiber Coupling) أو تقارن نوع ليف - ليف - لياف (Fiber - Detector Coupling) . {13} Coupling)

يتم قطع الليف البصري بشكل عمودي على محور الليف البصري بواسطة آلة حادة ومن ثم تبدأ عملية صقل نهاية الليف، من المعروف أن عمليتي الخدش والصقل ينتجانهما سطح صقيل وعمودي على محور الليف ولكن ذلك يتطلب مهارة عالية.

قمنا بعملية تهيئه الليف البصري وذلك عن طريق حز الغلاف بشكل عمودي وبواسطة آلة حادة جداً ومن ثم الضغط بنفس آلة القطع على الليف وبشكل متوازي وعمودي على محور الليف حتى تم قطعه ثم بدأت عملية صقله وذلك باستخدام المساحيق التالية وهي مرتبة حسب خشونتها تنازلياً:

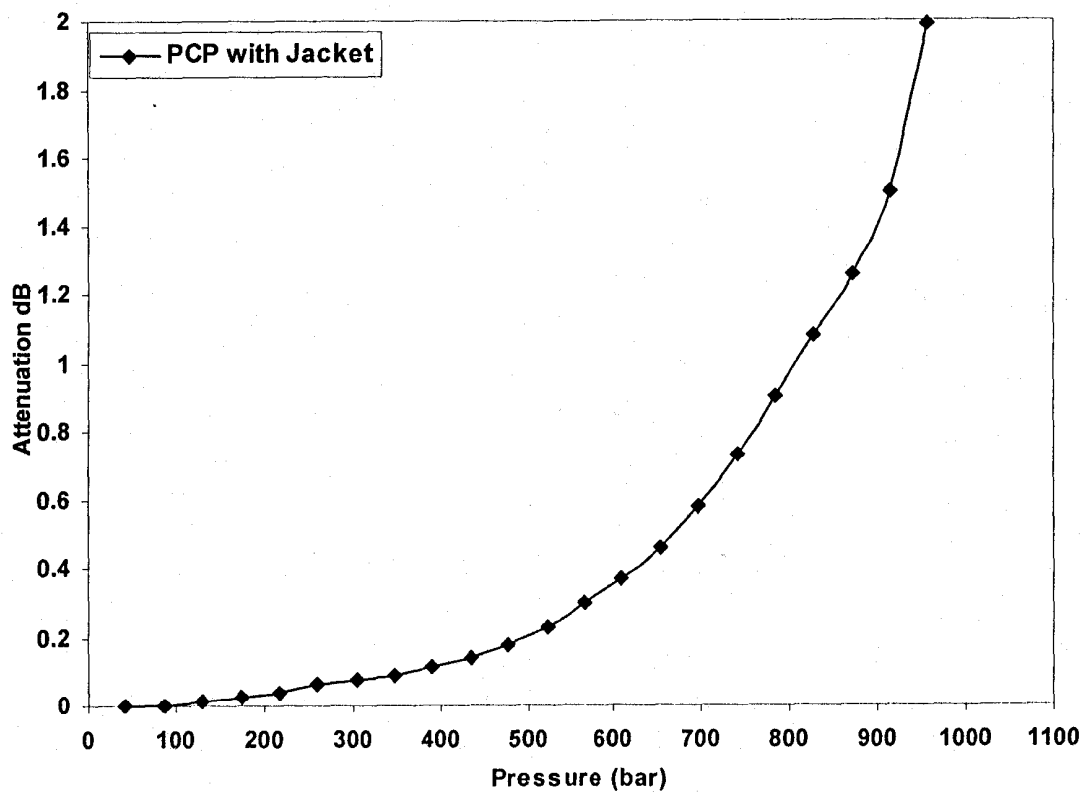
أجريت القياسات على ثلاثة مراحل :

المرحلة الأولى: تم حساب مقدار التوهين بوحدات (dB) الحاصل في القدرة الضوئية المنتقلة في الليف البصري الزجاجي Glass حيث تم تسلیط ضغط يتراوح بين (0~1300) bar على هذا النوع من الألياف وقد لوحظ بأن هذا النوع لا يتأثر بالضغط ضمن المدى المستخدم من الضغط وان مقدار الشدة الضوئية المارة خلال الليف البصري لا تتغير حيث بقيت ثابتة خلال فترة التجربة والتي استمرت بحدود 30 دقيقة، ويمكن ملاحظة عدم تأثر هذا النوع بالضغط المسلط من خلال الشكل (6).



الشكل (6): يبين مقدار تغير التوهين كدالة للضغط المسلط

المرحلة الثانية: تم حساب مقدار التوهين الحاصل في الليف البلاستيكي نوع PCP مع الغلاف الواقي Jacket حيث لوحظ في هذا النوع من الألياف نقصان في الشدة الضوئية المنتقلة خلال الليف بزيادة الضغط المسلط عليه، حيث إن أعلى ضغط تم تسلیطه على هذا النوع كان مقداره 871.11 bar والذي سبب توهين مقداره 1.89 dB، ويمكن ملاحظة مقدار الزيادة في التوهين نتيجة لزيادة الضغط، الشكل (7).



الشكل (7): يبين علاقة الضغط بالتوهين لليف نوع pcp مع الغلاف الواقي

المرحلة الثالثة : تم حساب مقدار التوهين الحاصل في الليف البلاستيكي PCP نفسه ولكن بعد إزالة الغلاف الواقي Jacket ، حيث تم رفع جزء صغير من الغلاف وبطول 0.5 cm من النصف العلوي للغلاف الواقي الذي يغلف هذا النوع من الألياف، وكما هو موضح في الشكل(8). وذلك تجنبًا لحدوث إجهاد على الليف مما يؤدي إلى حصول انحناء في الليف الأمر الذي يؤدي إلى زيادة الخسائر أي أن الانحناء الحاصل في الليف يعمل على قطع في استمرارية انتقال الضوء خلال الليف أي إرجاع جزء من القدرة الضوئية بدلاً من انتقالها وعليه يعد ذلك خسائر إضافية ناتجة من تأثير الانحناء وليس من تأثير الضغط {16} . في هذه المرحلة من الدراسة تم تسلیط ضغط ضمن مدى يتراوح بين (0 ~ 1306.6 bar) أدى إلى حدوث توهين يتراوح بين (0 ~ 1.92 dB) وكما يظهر في الشكل (9).

و عند ملاحظة جميع الأشكال آنفة الذكر والخاصة باستجابة الليف البصري للضغط المسلط عليه يمكن حساب حساسية الليف للمسلط عليه من خلال المعادلة رقم (5) :

$$Q = \Delta dB / \Delta P$$

5

اذ ان :

ΔdB هو التغير في مقدار التوهين في الإشارة المنتقلة خلال الليف البصري .

ΔP مقدار التغير في الضغط المسلط .

و قد تم حساب حساسية هذه الأنواع الثلاثة المستخدمة في الدراسة وكما هو موضح في الجدول رقم (1) وذلك من خلال الشكل (10) .

الجدول رقم (1): يبين حساسية الألياف المستخدمة

Sensitivity (dB / kg)		
Bare Core (Glass)	PCP with jacket	PCP without Jacket
0	0.6	0.9

وعليه فأن النتائج تشير إلى إمكانية استخدام الليف البصري نوع (PCP) وبدون غلاف وافي كميس للضغط وللمديات bar (500 ~ 1300) في حين أن الليف البصري الزجاجي لا يمكن استخدامه كميس للضغط وذلك لعدم تأثيره بالضغط الخارجي المسلط ضمن المديات المستخدمة في البحث .

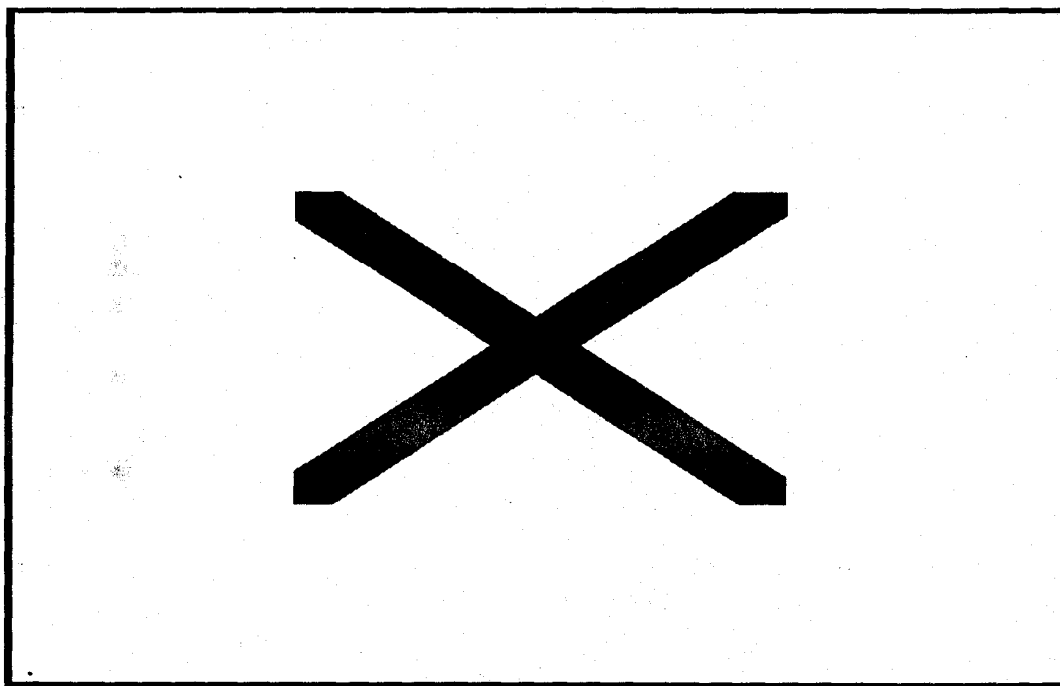
دراسة زيادة مقدار التوهين مع الزمن

وفي مرحلة أخرى من هذه الدراسة تم البحث في كيفية تغير التوهين مع الزمن عند تسلیط ضغط ثابت، حيث تم اختيار نوعين من الألياف هما الليف الزجاجي Glass والليف البلاستيكي PCP بدون غلاف وافي.

تم تسلیط ضغط مقداره 784 bar تقريباً على الليف البلاستيكي PCP وقياس مقدار زيادة التوهين مع الزمن أظهرت النتائج أن هناك تغيرات كبيرة في الدقائق الأولى ثم يصل مقدار التوهين إلى حالة من الاستقرار النسبي، أعيدت نفس العملية عدة مرات على نفس الليف وفي نفس المكان المعرض للضغط أظهرت النتائج انه عند نفس الضغط وفي نفس الزمن فان التوهين يزداد عند كل مره تم استعمال الليف فيها استعمالاً جديداً، كذلك من خلال النتائج وجد

أن الضغط الذي يتعرض له الليف يؤدي إلى حدوث هسترة في الإشارة ويزداد مقدار الهسترة بزيادة عدد مرات الاستعمال، وكما هو موضح في الشكل (11). حيث أنه الحالة A تمثل سلوك الليف في نقل الإشارة في حالة وجود التأثير (الضغط)، أما الحالة B فتمثل سلوك الليف عند رفع التأثير والحالات C و D تمثل مقدار الهسترة عند كل استعمال جديد ومقاسه بالدقائق اللازمة لكي يستعيد الليف وضعه الطبيعي ويسمح بمرور الشدة الضوئية الأصلية.

كذلك تم تسليط ضغط مقداره bar 1050 على الليف الزجاجي وقد أظهرت النتائج عدم تأثر هذا النوع بالضغط المسلط عليه مع مرور الزمن، وكما هو موضح في الشكل (11).



الشكل (11): يبين مقدار زيادة التوهين كدالة للزمن عند استعمال نفس الليف لأكثر من مرة

ومن خلال هذه المرحلة الأخيرة من الدراسة تم إثبات عدم صلاحية الليف الزجاجي كمجس للضغط وان الليف البلاستيكي يكون ذا استخدام امثل في مجسات الضغط التي تعتمد على تقنية قياس التوهين الحاصل في القدرة الضوئية المنتقلة خلال الليف البصري بسبب الضغط المسلط.

Conclusions

الاستنتاجات

- 1- إن زيادة حساسية المجرس تكمن في اختيار مادة الغلاف Clad ذات مرنة مناسبة.
- 2- فشل الليف الزجاجي في استخدامه كمجرس وذلك كونه مصنوع من مادة صلبة لا تتأثر بالضغط الخارجي وعند تحسسه للضغط فإن تشوها يحصل في جسم الليف الأمر الذي يمنع استخدامه كمجرس مرة أخرى.
- 3- أن الليف البصري نوع PCP مع الغلاف الواقي لا يصلح في استخدامه كمجرس كونه لا يتأثر بالضغوط المسلطة عليه عمودياً فضلاً عن أن مادة الغلاف أعطت قوه إضافية للليف البصري.
- 4- أما الليف نوع PCP بدون غلاف واقي فانه بالإمكان استخدامه كمجرس لأنه يستجيب إلى الضغط المسلط عليه سواء كان هذا الضغط لحظي أم مستمر مع الزمن مع ملاحظة أن استخدام الليف أكثر من مرة يؤدي إلى حدوث هسترة في قابلية الليف على نقل الإشارة أي انه يجب استبدال الليف بين فترة وأخرى.

References

المصادر

- 1- David A. Krohn, Eotec Corp, "Fiber Optics new Sensor for Old Problems" Intech, pp (57~60), May 1983.
- 2- A. Tebo "Fiber Optic Sensing in Medicine, An Exploding Field" Focus: Biomedical Applications, Feb 1991.
- 3- J. Shelly, Etal "A Fiber Optic Sensor to Measure Glucose Concentration" Communication in Instrumentation, Vol.6, No.4 (1998), pp:(107 ~ 112).
- 4- M. Gtlied & G. B. Brandt "Temperature Sensing in Optical Fibers Using Cladding and Jacket Loss Effect" Applied Optics, Vol.20, No.22, Nov.1981, pp:(3867 ~ 3873).
- 5- Walinski TR. Bock WJ. Dabrowski R. "Ryes Fiber Optic Pressure Measurement with Cholesterol Liquid Crystals" Molecular Crystals & Liquid Crystals Science & Technology Section, Vol.249, (1994), pp:(155 ~ 161).

- 6- C. O. Egalon & R. S. Rogowski "Axial Strain Insensitivity of Weakly Guiding Optical Fiber" Optical Engineering, Vol.33, No.2 , 1999, pp:(498 ~ 501).
- 7- R. H. Yousif, K. I. Hajim, K. S. Naimme " Investigation of the Opto Mechanical Properties of PMMA and their Application in Pressure Sensor" part II plastic elastic, SPIE, 13 July 1990.
- 8- A. E. Frederiek "Fiber Optic Handbook for Engineers 2 Suentists" McGraw – Hill Publishing Company New York, (1989).
- 9- Zengfarg, Ge. Brown C. W., & Brown M. "Monitoring of Lamination Process in Autoclave with Fiber Optic Infrared Spectroscopy" Journal of Applied Polymer Science, Vol.56, (1995), pp:(667 ~ 675).
- 10- J. Clowes, J. Edwards, I. Grudinin, E. L. EKluth, M. P. Varnham, M. N. Zervas, C. M. Crawley and R. L. Kutlik "Low drift fiber optic pressure sensor for oil field down hole monitoring", Electronics Letters, Vol.35, No.11, (1999), pp:926.
- 11- Mccollum T. Spector GB. "Fiber Optic Micro Bend Sensor for Detection of Dynamic Fluid Pressure at Gear Interfaces" Review of Scientific Instruments, Vol.65, No.3, (1994), pp:(724 ~ 729).
- 12- Lin H. Ho CM "Optic Pressure Transducer" Review of Scientific Instruments Vol.64, No.7, 1999-2002.
- 13- Amean A. S. Abdullah, A. I., "Core Fiber Refractive Index Measurement Based on Fiber- Fiber Coupling Technique" (2001).
- 14- Abdulrhman M. A. "A Study of the Influence of Launching Condition of the Laser Beam on the Performance of the Fiber Optic Sensor" Thesis of Master, College of Science, University of Mosul, (2000).
- 15- Tagaya T., Kobayashi T., Nakatsuka S. and Koike Y. "A High Gain and Power Organic Dye-Doped Polymer Optical Fiber Amplifiers Absorption and Emission and Gain Characteristics" Applied Physics, Vol.36, No.5A, pp:(2705 ~ 2708), (1997).
- 16- Al-Hadydy, M. S., "Minimization of Microbanding Losses in Circular –Single Coated Optical Fibers" Thesis of Master, College of Science, University of Mosul, (1998).